

# 大孔吸附树脂纯化天麻眩晕宁合剂水提部位的工艺研究

柳小莉 曹瑞 曹林林 郭东艳

**摘要 目的** 优选天麻眩晕宁合剂水提部位的大孔吸附树脂纯化工艺。方法 以天麻素、芍药苷为指标,考察上样药液浓度、上样药液流速、径高比、洗脱剂、洗脱速度等对天麻眩晕宁合剂水提部位的影响,确定大孔树脂纯化工艺条件。**结果** 选用HPD300 型号大孔树脂,径高比为 1:10,最大上样量为 3BV,上样药液浓度为 0.5g/ml/生药,以 4BV/h 的流速上样,1BV 水洗脱后,用 5BV 50% 乙醇 4BV/h 进行洗脱。**结论** 该工艺纯化天麻眩晕宁合剂水提部位中天麻素、芍药苷是稳定、可行的。

**关键词** 大孔吸附树脂 天麻眩晕宁合剂 纯化工艺 天麻素 芍药苷

中图分类号 R28

文献标识码 A

DOI 10.11969/j.issn.1673-548X.2015.12.018

**Purification Technology of Water-extraction Parts from Tianma Xuanyunning Mixture by Macroporous Resin.** Liu Xiaoli, Cao Rui, Cao Linlin, et al. Medicine College of Shaanxi University of Traditional Chinese Medicine, Shaanxi 712046, China

**Abstract Objective** To optimize purification technology of water-extraction parts from Tianma Xuanyunning mixture by macroporous resin. **Methods** The gastrodin and paeoniflorin being taken as index, purification condition of water-extraction parts from Tianma Xuanyunning mixture was determined by selecting the effect of liquid concentration, flow velocity, diameter-height ratio, eluent and eluent rate. **Results** The optimum purification as follows: HPD300 Macroporous resin was fitted, the diameter-height ratio of resin column of 1:10, the sampling volume of eluting reagent of 1BV water and 5BV 50% ethanol, eluting rate of 4BV/h. **Conclusion** The optimized method is stable and feasible to purify gastrodin and paeoniflorin of water-extraction parts from Tianma Xuanyunning mixture.

**Key words** Macroporous resin; Tianma Xuanyunning mixture; Purification; Gastrodin; Paeoniflorin

大孔吸附树脂通过吸附性和分子筛原理,根据化合物吸附力的不同及分子质量的大小,经一定的溶剂洗脱而达到分离的目的。近年来,大孔吸附树脂在纯化中药复方的应用日益增多,高度富集复方有效成分的同时,能最大限度地去粗取精,有利于中药制剂的升级换代<sup>[1~4]</sup>。天麻眩晕宁合剂为陕西中医学院独家品种,是治疗美尼尔综合征导致的眩晕病的中药复方制剂。由天麻、钩藤、白芍等 12 味中药材组成,原采用水提醇沉工艺进行提取纯化,存在水提部位杂质含量高、工艺耗时低效、制剂不稳定的问题,为充分保留复方中有效成分、提高制剂稳定性、更好发挥药效,本实验以天麻素、芍药苷的吸附率、洗脱率为考察指标,优选天麻眩晕宁合剂的大孔吸附树脂纯化工艺条件,为开发更加高效、稳定的制剂提供实验基础。

## 材料与方法

1. 材料与仪器:(1) 材料:天麻素对照品购自中国药品生物制品检定所,批号:110807-200205,纯度>95%,供含量测定用;芍药苷对照品购自中国食品药品检定研究院,批号:110736-201337,纯度>95%,供含量测定用;天麻、白芍、茯苓等药材购自陕西盛兴中药饮片有限公司,经检验均符合《中国药典》2010 年版一部各药材项下规定。磷酸购自天津市标准科技有限公司,批号:20040714,水为重蒸馏水,乙腈为色谱纯,乙醇为分析纯。HPD100、HPD300、HPD400、HPD600、AB-8、D101 均购自沧州宝恩吸附材料科技有限公司。(2) 仪器:Agilent1260 高效液相色谱仪购自美国安捷伦科技公司;Al204 万分之一电子天平购自梅特勒-托利多仪器(上海)有限公司;BT25s 十万分之一电子天平购自上海天美仪器有限公司;SHZ-B 恒温水浴振荡器购自国华企业。

2. 方法:(1) 样品溶液的制备:分别取残留液和洗脱液 2ml,置于蒸发皿中挥干溶剂,用稀乙醇溶解,定容至 10ml,过 0.45 μm 微孔滤膜,取续滤液,即得。(2) 天麻素含量测定方法:① 对照品溶液的制备:精密称取在 80℃ 减压干燥 1h 的天麻素对照品适量,加流动相制成每 1ml 含 56 μg 的溶液,即得<sup>[5]</sup>;② 色谱条件:Thermo syncronis C<sub>18</sub> 色谱柱 (4.6mm × 250mm, 5 μm), 流动相乙腈 - 0.05% 磷酸水 (4:96), 流速

基金项目:陕西省教育厅基金资助项目(2012JC11)

作者单位:712046 咸阳,陕西中医学院药学院(柳小莉、曹瑞、郭东艳),制药厂(曹林林)

1.0ml/min, 检测波长 220nm, 柱温 25℃; ③标准曲线的绘制: 分别精密吸取对照品溶液(56μg/ml)2、4、6、8、10μl注入液相色谱仪, 按照优选的色谱条件进行测定, 以对照品溶液进样量为横坐标, 峰面积为纵坐标, 绘制标准曲线。得回归方程  $Y = 120.45X - 1.3657$  ( $R^2 = 1.000$ ), 表明天麻素在 0.112 ~ 0.560μg 范围内与峰面积呈良好线性关系。(3)芍药苷含量测定: ①对照品溶液的制备: 精密称取芍药苷对照品适量, 加甲醇制成每 1ml 含 60μg 的溶液即得<sup>[5]</sup>; ②色谱条件: Thermo syncronis C<sub>18</sub> 色谱柱 (4.6mm × 250mm, 5μm), 流动相乙腈 - 0.05% 磷酸水 (18: 82), 流速 1.0ml/min, 检测波长 230nm, 柱温 25℃; ③标准曲线的绘制: 分别精密吸取对照品溶液 (60μg/ml)4、6、8、10、12μl 注入液相色谱仪, 按照优选的色谱条件进行测定, 以对照品溶液进样量为横坐标, 峰面积为纵坐标, 绘制标准曲线。得回归方程  $Y = 217.35X + 238.38$  ( $R^2 = 0.9992$ ), 表明芍药苷在 0.24 ~ 0.72μg 与峰面积呈良好线性关系。(4)树脂处理: 取适量 HPD100、HPD300、HPD400、HPD600、AB-8、D101 型大孔树脂, 用 95% 乙醇浸泡 24h, 用纯净水洗至无醇味, 备用。(5)上样药液的制备: 按天麻眩晕宁合剂处方比例, 陈皮、生姜提取挥发油, 余下药液另放; 药渣与白芍、茯苓、甘草、竹茹加水煎煮两次, 第 1 次 10 倍量水 1.5h, 第 2 次 8 倍量水 1h, 合并药液; 天麻另煎, 煎液与上述各药液合并, 浓缩至适量, 制成浓度为 0.5g 生药/ml 的溶液, 即为上样药液, 备用。(6)大孔树脂纯化工艺优选: ①大孔树脂型号的筛选: 称取经预处理的湿树脂 HPD100、HPD300、HPD400、HPD600、AB-8、D101 各 8.0g, 至 100ml 具塞锥形瓶中, 分别精密加入 0.25g 生药/ml 的药液 (将上样药液稀释即得) 16ml, 置恒温水浴振荡器中, 于 25℃, 100r/min 振摇 24h, 使树脂达到饱和吸附, 滤过, 收集残留液, 依法测定残留液中天麻素及芍药苷的浓度, 计算天麻素含量和芍药苷含量; ②上样药液浓度和洗脱剂乙醇浓度的考察<sup>[6]</sup>: 取预处理的 HPD300 树脂, 吸干表面水分, 称取 4 份, 每份 8.5g, 置于具塞锥形瓶中, 分别精密移取 15ml 浓度为 0.25g 生药/ml、0.5g 生药/ml、0.75g 生药/ml、1.0g 生药/ml 的药液, 于 25℃, 100r/min 下振摇 24h, 滤过, 收集残留液, 依法测定指标成分, 并计算其吸附率; 将上述 0.5g 生药/ml 下的树脂吸干表面药液, 均分 4 份, 分别加入 30%、40%、50%、60% 乙醇 15ml, 于 25℃, 100r/min 下振摇 24h, 滤过, 收集洗脱液, 依法测定指标成分; ③泄露曲线的考察: 称取预处理过的 HPD300 大孔树脂约 8.5g, 湿法装入 15mm × 300mm 的柱内 (1BV = 14ml), 取 0.5g 生药/ml 上样药液以 1BV/h 的流速吸附, 分别收集过柱液 15 份, 每份 14ml, 依法测定指标成分, 以指标成分含量为纵坐标, 累积上样体积 (BV) 为横坐标, 绘制泄露曲线; ④树脂径高比的考察: 取 4 份经预处理的 HPD300 大孔树脂湿法装柱 (15mm × 300mm), 使径高比分别为 1:6、1:8、1:10、1:12、1:14, 取 3BV 0.5g 生药/ml 药液, 以 2BV/h 的流速进行吸附, 收集流出液, 依法测定指标成分的含量, 计算吸附率; ⑤上样药液流速的考察: 取 4 份经预处理的 HPD300 大孔树脂湿法装柱 (15mm ×

300mm), 径高比 1:10, 3BV 0.5g 生药/ml 药液分别上样, 流速以 1、2、3、4BV/h 进行吸附, 收集流出液, 依法测定指标成分含量, 计算吸附率; ⑥水洗除杂工艺的考察: 取经预处理的 HPD300 大孔树脂湿法装柱 (15mm × 300mm), 径高比 1:10, 3BV 0.5g 生药/ml 药液以 4BV/h 上样, 用纯净水洗脱, 每 1 个保留体积 (6ml) 收集 1 份水洗液, 共 10 份, 依法测定指标成分含量; ⑦洗脱剂用量的考察: 取经预处理的 HPD300 大孔树脂湿法装柱 (15mm × 300mm), 径高比 1:10, 3BV 0.5g 生药/ml 药液以 4BV/h 上样, 1BV 纯净水洗脱除杂后, 用 50% 乙醇进行洗脱, 每 1BV (17ml) 收集 1 份, 共 10 份, 依法测定指标成分含量, 以乙醇洗脱累积体积为横坐标, 指标成分含量为纵坐标, 绘制曲线图; ⑧洗脱速度的考察: 取 4 份经预处理的 HPD300 大孔树脂湿法装柱 (15mm × 300mm), 径高比 1:10, 3BV 0.5g 生药/ml 药液以 4BV/h 上样, 1BV 纯净水洗脱除杂后, 用 5BV 50% 乙醇分别按 1、2、3、4BV/h 的流速洗脱, 收集洗脱液, 依法测定指标成分含量, 计算解析率。

## 结 果

1. 大孔树脂型号的筛选: 根据下式: 静态吸附率 (%) = (初始含量 - 残留液含量)/初始含量 × 100%, 得出各树脂静态吸附率; 结果天麻素的静态吸附率分别为 81.5%、84.8%、61.2%、59.0%、78.5%、74.1%; 芍药苷静态吸附率分别为 33.3%、100%、100%、98.4%、100%、100%。表明 HPD300 对天麻素与芍药苷有较高的吸附率, 故选 HPD300 型号的大孔树脂。

2. 上样药液浓度和洗脱剂乙醇浓度考察: 上样药液浓度结果为天麻素的静态吸附率分别为 89.2%、73.4%、73.0%、64.3%; 芍药苷静态吸附率分别为 100%、100%、99.8%、99.6%。表明浓度为 0.25g 生药/ml 时, 天麻素和芍药苷的吸附率高于其他浓度药液, 但药液浓度相对过低, 会造成上样体积过大, 降低生产效率<sup>[1]</sup>。因此, 上样药液浓度选为 0.5g 生药/ml。洗脱剂乙醇浓度考察中根据下式: 解析率 = 解析量/吸附量 × 100%, 计算解析率; 结果天麻素解吸率分别为 98.9%、91.4%、90.1%、87.8%; 芍药苷解吸率分别为 56.6%、74.7%、86.3%、88.2%。表明 50% 乙醇对天麻素、芍药苷的解析率都较高, 故洗脱剂选用 50% 乙醇。

3. 泄露曲线的考察: 以指标成分含量为纵坐标, 累积上样体积 (BV) 为横坐标, 绘制泄露曲线, 见图 1。由图 1 表明, 天麻素从 3BV 后开始明显泄露, 芍药苷从 5BV 后开始明显泄露, 以君药中天麻素为准, 故确定最大上样量为 3BV。

4. 树脂径高比考察: 天麻素吸附率分别为

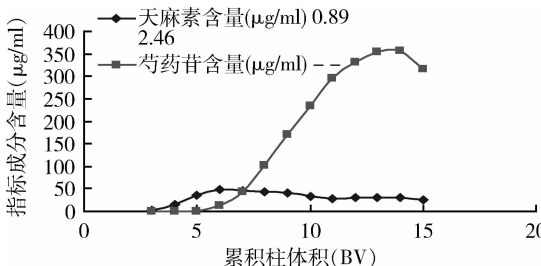


图 1 指标成分含量的泄露曲线

81.7%、59.4%、98.3%、99.9%、66.2%；芍药苷吸附率分别为 98.8%、87.2%、100%、100%、99.4%。表明径高比为 1:12 时，天麻素吸附率和芍药苷吸附率都很高，但在实际操作中，树脂柱容易产生气泡，会影响到上样流速与洗脱流速，而径高比为 1:10 时，天麻素吸附率和芍药苷吸附率也较高<sup>[1]</sup>。因此，确定树脂径高比为 1:10。

5. 上样药液流速的考察：天麻素吸附率分别为 78.9%、92.3%、90.5%、95.5%；芍药苷吸附率分别为 95.4%、99.2%、100%、100%。上样药液流速为 4BV/h 时，天麻素吸附率和芍药苷吸附率都较高，故确定上样药液流速为 4BV/h。

6. 水洗除杂工艺考察：天麻素的含量(μg/ml)分别为 13.08、21.93、24.04、22.38、19.27、21.39、16.14、14.40、12.96、12.28，芍药苷的含量(μg/ml)分别为 0.32、0.38、0.74、0.83、0.71、0.54、0.42、0.35、0.32、0.37；第 3 个保留体积即约为 1 个柱体积时，既有利于去除杂质又能较好的保留天麻素和芍药苷，故选择 1BV 水进行洗脱<sup>[7]</sup>。

7. 洗脱剂用量的考察：以乙醇洗脱累积体积为横坐标，指标成分含量为纵坐标，绘制曲线图，见图 2。图 2 表明 5BV 50% 乙醇洗脱时，天麻素已完全洗脱，芍药苷也基本洗脱完，故确定 50% 乙醇洗脱剂用量为 5BV。

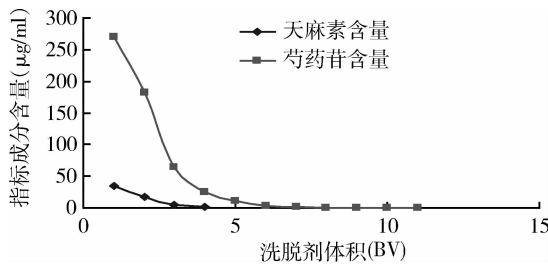


图 2 洗脱剂用量曲线图

8. 洗脱速度的考察结果：天麻素解析率分别为 77.5%、86.2%、82.3%、88.1%；芍药苷解析率分别为 87.6%、95.1%、76.6%、92.6%，表明 4BV/h 50%

乙醇洗脱时，指标成分解析率较高，故确定 50% 乙醇洗脱速度为 4BV/h。

9. 验证试验：取 3 份经预处理的 HPD300 型大孔树脂湿法装柱(15 mm × 300 mm)，径高比为 1:10, 3BV 0.5 g 生药/ml 的药液以 4BV/h 进行上样，1BV 纯净水洗脱除杂后，用 5BV 50% 乙醇以 4BV/h 的流速洗脱，收集洗脱液，水浴蒸干，依法测定固形物中指标成分含量，结果见表 1。经纯化后天麻素、芍药苷含量分别为 1.647%、8.343%；固形物得率为 3.177%。说明该工艺稳定、可行。

表 1 验证试验结果(%)

分组	1	2	3	平均值	RSD
天麻素含量	1.67	1.65	1.62	1.647	1.53
芍药苷含量	8.29	8.35	8.39	8.343	0.60
固形物得率	3.15	3.14	3.24	3.177	1.73

## 讨 论

天麻眩晕宁合剂处方由 12 味中药材组成，其中 7 味中药材原纯化方法为水提醇沉法；本实验结合“君臣佐使”原则及药理作用以天麻素和芍药苷为考察指标<sup>[8~10]</sup>。而君药天麻在 7 味中药材中约占 1/10，白芍约占 1/5，天麻素和芍药苷相对分子质量及含量差异较大；大孔树脂纯化过程中，对高分子物质吸附优于低分子物质，因而两者含量变化趋势相差也较大，条件筛选中主要以天麻素为主；为了使天麻素和芍药苷含量在对照品标准曲线线性范围内，样品溶液的进样量根据残留液、洗脱液情况不同而有所区别。筛选出的大孔树脂纯化条件为：选用 HPD300 型号大孔树脂，径高比为 1:10，最大上样量为 3BV，上样药液浓度为 0.5 g 生药/ml，以 4BV/h 的流速上样，1BV 水洗脱后，用 5BV 50% 乙醇 4BV/h 进行洗脱；验证结果得出，天麻眩晕宁合剂水提部位纯化前固形物得率为 19.35%，经 HPD300 型号大孔树脂纯化后为 3.177%；天麻素、芍药苷纯化前含量分别为 0.47%、1.17%，经纯化后分别为 1.647%、8.343%，含量均有所提高。但是大孔树脂纯化后药效与原水提醇沉工艺药效是否一致，还有待于后期通过相关药效学实验进一步验证。

## 参 考 文 献

- 1 从毛勉, 盛方标, 范鲁雁. 大孔吸附树脂在分离纯化中药复方中的应用[J]. 安徽医药, 2009, 13(11): 1411~1413
- 2 张旭, 王锦玉, 全燕, 等. 大孔树脂技术在中药提取纯化中的应用及展望[J]. 中国实验方剂学杂志, 2012, 18(6): 286~289

(下转第 74 页)

- 5 Schlecht NF, Kulaga S, Robitaille J, et al. Persistent human papillomavirus infection as a predictor of cervical intraepithelial neoplasia [J]. JAMA, 2001, 286: 3106–3114
- 6 Solomon D, Schiffman M, Tarone R. Comparison of three management strategies for patients with atypical squamous cells of undetermined significance: baseline results from a randomized trial [J]. J Natl Cancer Inst, 2001, 93: 293–299
- 7 Priebe AM. 2012 cervical cancer screening guidelines and the future role of HPV testing [J]. Clin Obstet Gynecol, 2013, 56: 44–50
- 8 Dillner J. Primary human papillomavirus testing in organized cervical screening [J]. Curr Opin Obstet Gynecol, 2013, 25: 11–16
- 9 Murphy J, Kennedy EB, Dunn S, et al. HPV testing in primary cervical screening: a systematic review and meta-analysis [J]. J Obstet Gynaecol Can, 2012, 34: 443–452
- 10 Dijkstra M, van Niekerk D, Rijkaart D, et al. Primary hrHPV DNA testing in cervical cancer screening: how to manage screen positive women? A POBASCAM Trial sub study [J]. Cancer Epidemiol Biomarkers Prev, 2014, 23: 55–63
- 11 Richardson H, Kelsall G, Tellier P, et al. The natural history of type-specific human papillomavirus infections in female university students [J]. Cancer Epidemiol Biomarkers Prev, 2003, 12: 485–490
- 12 Bulkmans NW, Berkhof J, Bulk S, et al. High-risk HPV type-specific clearance rates in cervical screening [J]. Br J Cancer, 2007, 96: 1419–1424
- 13 Insinga RP, Dasbach EJ, Elbasha EH, et al. Incidence and duration of cervical human papillomavirus 6, 11, 16, and 18 infections in young women: an evaluation from multiple analytic perspectives [J]. Cancer Epidemiol Biomarkers Prev, 2007, 16: 709–715
- 14 Naucler P, Ryd W, Tornberg S, et al. HPV type-specific risks of high-grade CIN during 4 years of follow-up: a population-based prospective study [J]. Br J Cancer, 2007, 97: 129–132
- 15 Syrjanen K. Mechanisms and predictors of high-risk human papillo-
- mavirus (HPV) clearance in the uterine cervix [J]. Eur J Gynaecol Oncol, 2007, 28: 337–351
- 16 Shew ML, Fortenberry JD, Tu W, et al. Association of condom use, sexual behaviors, and sexually transmitted infections with the duration of genital human papillomavirus infection among adolescent women [J]. Arch Pediatr Adolesc Med, 2006, 160: 151–156
- 17 Giuliano AR, Sedjo RL, Roe DJ, et al. Clearance of oncogenic human papillomavirus (HPV) infection: effect of smoking (United States) [J]. Cancer Causes Control, 2002, 13: 839–846
- 18 Castle PE, Rodriguez AC, Burk RD, et al. Short term persistence of human papillomavirus and risk of cervical precancer and cancer: population based cohort study [J]. BMJ, 2009, 339: b2569
- 19 Kjaer S, Hogdall E, Frederiksen K, et al. The absolute risk of cervical abnormalities in high-risk human papillomavirus-positive, cytologically normal women over a 10-year period [J]. Cancer Res, 2006, 66: 10630–10636
- 20 Stany MP, Bidus MA, Reed EJ, et al. The prevalence of HRHPV DNA in ASC-US Pap smears: A military population study [J]. Gynecol Oncol, 2006, 101: 82–85
- 21 卞美璐, 陈庆云, 张小燕. 对宫颈细胞学诊断意义未明的不典型鳞状细胞患者的临床管理 [J]. 中华医学杂志, 2006, 86: 2339–2342
- 22 Dalstein V, Riethmuller D, Pretet JL, et al. Persistence and load of high-risk HPV are predictors for development of high-grade cervical lesions: a longitudinal French cohort study [J]. Int J Cancer, 2003, 106: 396–403
- 23 Rousseau MN, Costes V, Konate I, Nagot N, et al. Viral load and genomic integration of HPV 16 in cervical samples from HIV-1-infected and uninfected women in Burkina Faso [J]. J Med Virol, 2007, 79: 766–770

(收稿日期:2015-09-30)

(修回日期:2015-10-10)

(上接第 69 页)

- 3 刘明. 大孔吸附树脂在中药提取纯化中的应用进展 [J]. 世界中医药, 2013, 8(2): 232–234
- 4 王欣, 罗维早, 王爱平, 等. 补肾益寿胶囊水提液的精制工艺 [J]. 中国医药工业杂志, 2014, 45(4): 334–338
- 5 国家药典委员会. 中华人民共和国药典. 一部 [M]. 北京: 化学工业出版社, 2005: 39, 69
- 6 何迅, 迟明艳, 庞秀清, 等. 大孔吸附树脂分离精制莲菊感冒胶囊工艺 [J]. 中国医院药学杂志, 2011, 31(15): 1262–1266
- 7 陈超, 陈国芹, 陈阿丽, 等. AB-8 型大孔吸附树脂纯化复方通脉

颗粒有效部位的工艺优选 [J]. 中国实验方剂学杂志, 2013, 19(5): 4–6

- 8 曹立明. 美尼尔氏综合症的中医认识及治疗进展 [J]. 中医临床研究, 2011, 3(14): 119–120
- 9 莫礼滨. 天麻素注射液穴位注射治疗美尼尔氏病临床观察 [J]. 长春中医药大学学报, 2010, 26(4): 537
- 10 郑世存, 李晓宇, 欧阳兵, 等. 苓药苷药理作用研究新进展 [J]. 中国药物警戒, 2012, 9(2): 100–102

(收稿日期:2015-04-04)

(修回日期:2015-05-12)